

# 自动控制理论 A

## Matlab 仿真实验报告

实 验 名 称 : 根轨迹与频率特性分析

姓 名 : Maxwell Jay

学 号 :

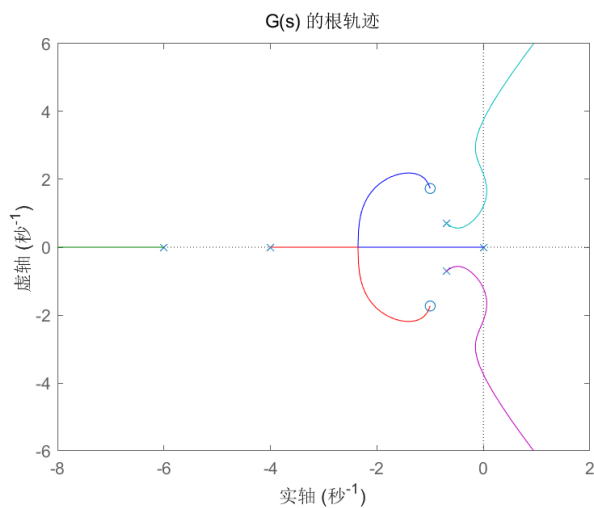
班 级 :

撰 写 日 期 : 2024 年 12 月 22 日

哈尔滨工业大学（深圳）

## 一、 基于根轨迹的性能分析

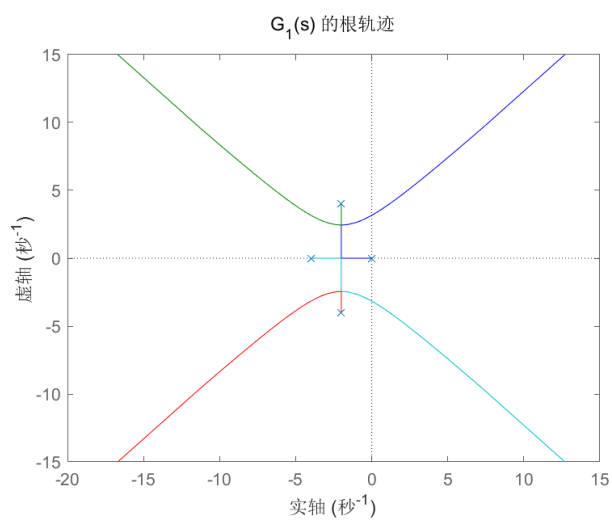
1. 对开环传递函数  $G(s)$ 、 $G_1(s)$  和  $G_2(s)$  分别画出关于根轨迹增益  $k$  的闭环根轨迹图，给出根轨迹的分离点、与虚轴的交点，给出使闭环系统稳定的参数  $k$  的范围。



分离点:  $(-2.36, 0)$

与虚轴交点:  $(0, \pm j1.21), (0, \pm j2.15), (0, \pm j3.75)$

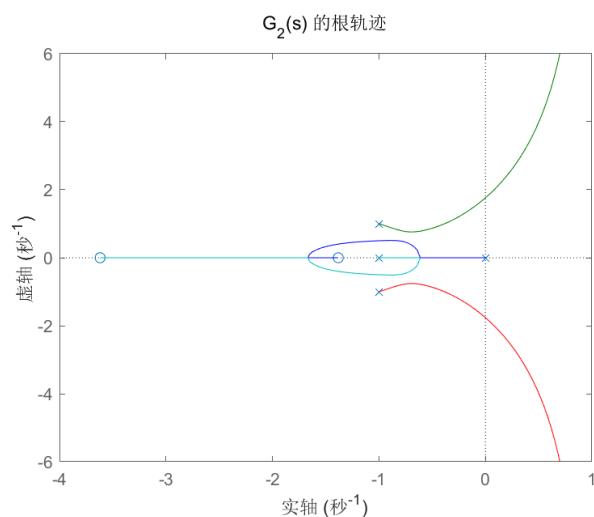
系统稳定  $k$  范围:  $k \in (0, 15.6) \cup (67.5, 163)$



分离点:  $(-2.0, 0)$

与虚轴交点:  $(0, j0), (0, \pm j3.16)$

系统稳定  $k$  范围:  $k \in (0, 260)$

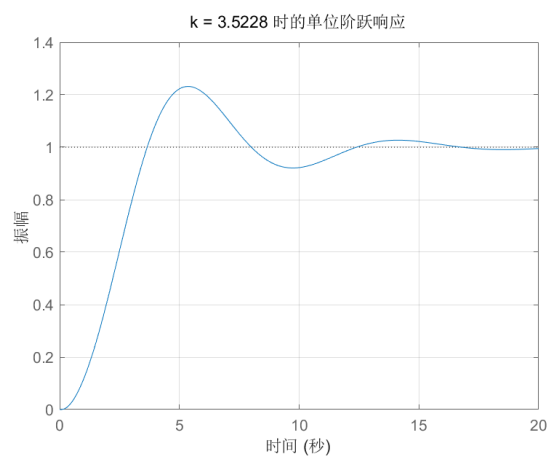
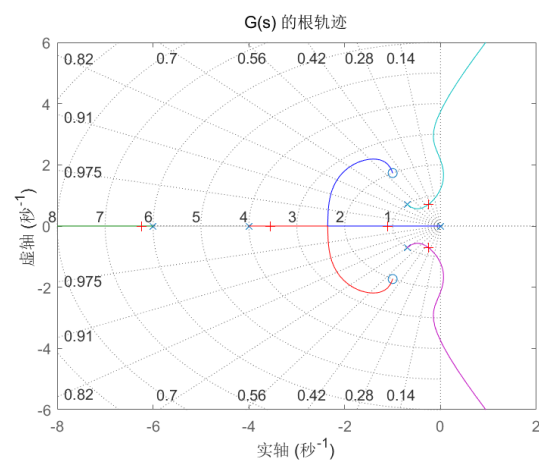


分离点:  $(-0.614, 0)$

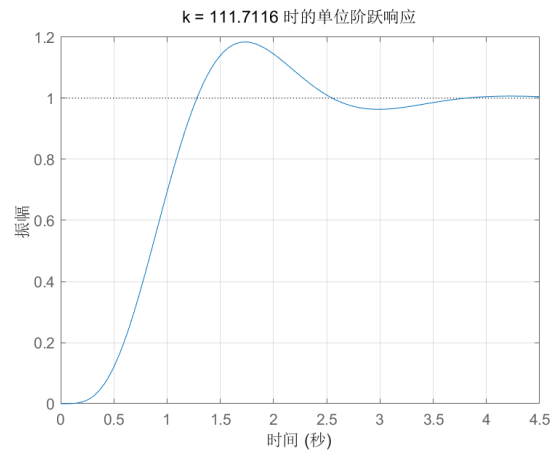
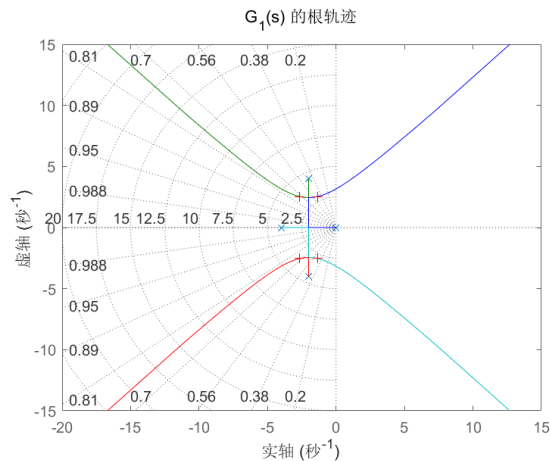
与虚轴交点:  $(0, \pm j0), (0, \pm j1.76)$

系统稳定  $k$  范围:  $k \in (0, 1.45)$

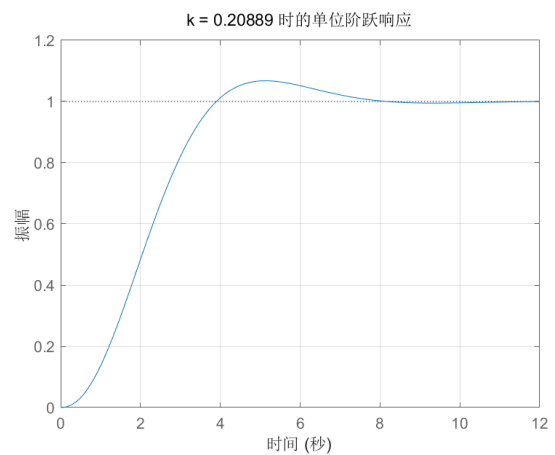
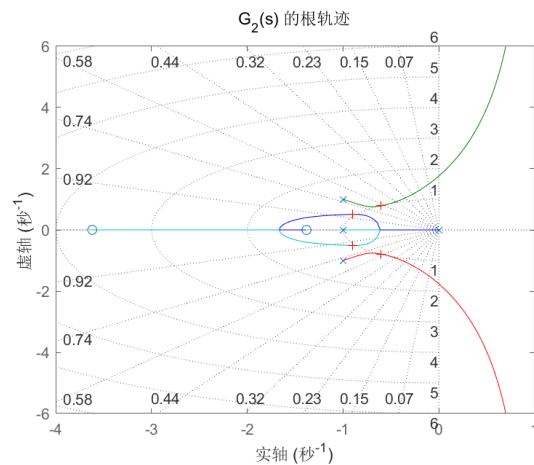
- 对开环传递函数  $G(s)$ 、 $G_1(s)$  和  $G_2(s)$ , 借助等阻尼比射线, 找出使闭环主导极点的阻尼比在  $0.3 \sim 0.8$  之间的某一根轨迹增益, 画出在该增益下单位反馈闭环系统的阶跃响应。比较从阶跃响应上得到超调与从根轨迹信息框里的超调, 进而给出简单的结论。



选取的极点对应增益为  $k = 3.5228$ , 阻尼比为  $0.33$ , 显示超调为  $33.4\%$ , 与绘制的单位阶跃响应所示一致。



选取的极点对应增益为  $k = 111.7116$ ，显示超调为 19.5%，与绘制的单位阶跃响应所示一致。



选取的极点对应增益为  $k = 0.2089$ ，阻尼比为 0.603，显示超调为 9.31%，与绘制的单位阶跃响应所示一致。

结论：根轨迹上主导极点的位置能够指示系统单位阶跃响应的性能。当所有极点位于左半平面时，系统对于阶跃信号的响应稳定，并且阻尼比越小，超调越少。

3. 对开环传递函数  $G_3(s)$  画出不同零点时的根轨迹，并与不含零点时的根轨迹进行比较，给出简单的结论。

要求：给出画根轨迹的 m 文件的代码，画出根轨迹，给出单位阶跃响应图。

MATLAB 代码如下：

```
% File: root_zero.m
function sys = root_zero(z)
    num = [1, -z];
    den = [1 2 2 0];
    sys = tf(num, den);
end
```

```
% File: root_locus_G3.m
clc; clear; close all;
```

```

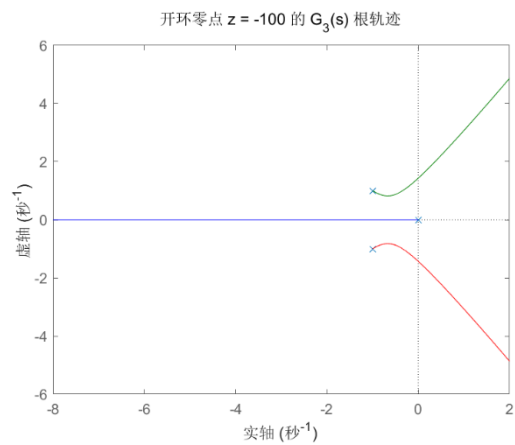
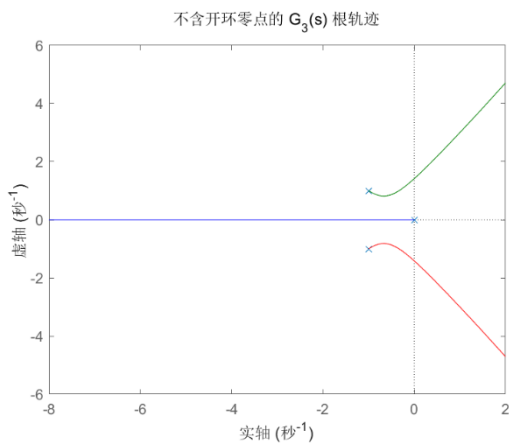
num3 = 1;
den3 = [1 2 2 0];
G3 = tf(num3, den3);

% 不含开环零点的 G_3(s) 根轨迹
figure(1);
rlocus(G3);
title('不含开环零点的 G_3(s) 根轨迹');
axis([-8 2 -6 6]);
saveas(gcf, 'locus_G3_nozero.png');

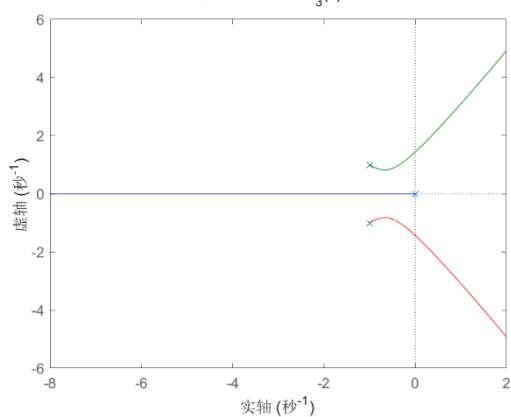
% 含开环零点的 G_3(s) 根轨迹
z = [-100, -75, -50, -25, -5, -4, -3, -2, -1, 0];
for i = 1:length(z)
    G3 = root_zero(z(i));
    figure(2);
    rlocus(G3);
    title('开环零点 z = ' + string(z(i)) + ' 的 G_3(s) 根轨迹');
    axis([-8 2 -6 6]);
    saveas(gcf, 'locus_G3_' + string(z(i)) + '.png');
end

```

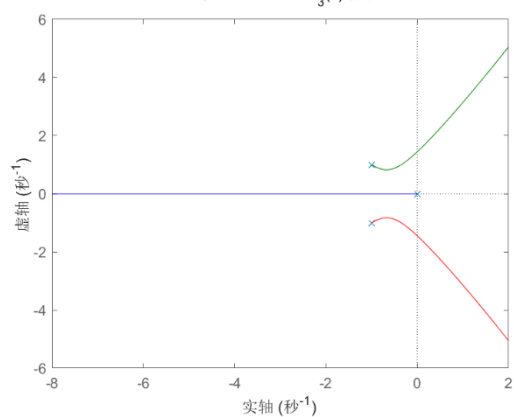
结果:



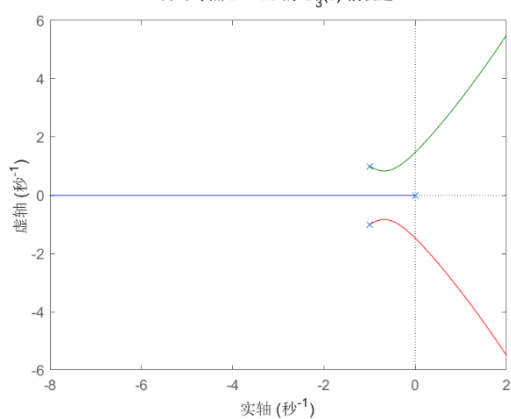
开环零点  $z = -75$  的  $G_3(s)$  根轨迹



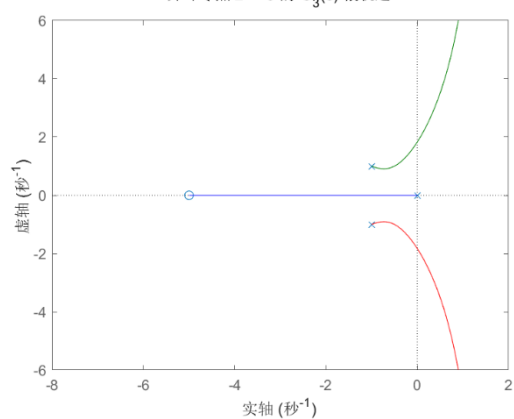
开环零点  $z = -50$  的  $G_3(s)$  根轨迹



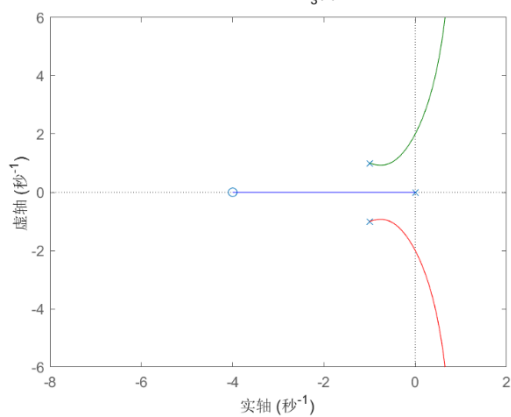
开环零点  $z = -25$  的  $G_3(s)$  根轨迹



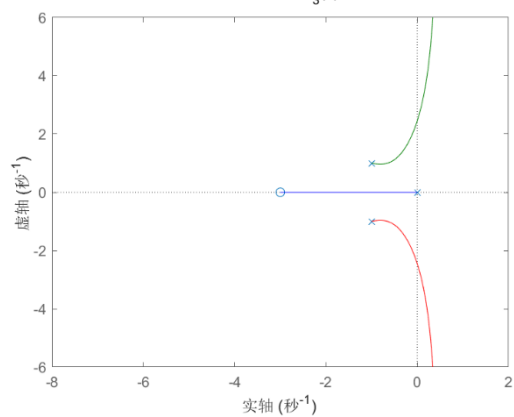
开环零点  $z = -5$  的  $G_3(s)$  根轨迹



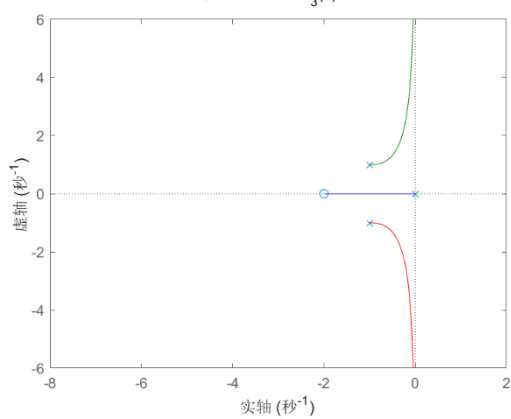
开环零点  $z = -4$  的  $G_3(s)$  根轨迹



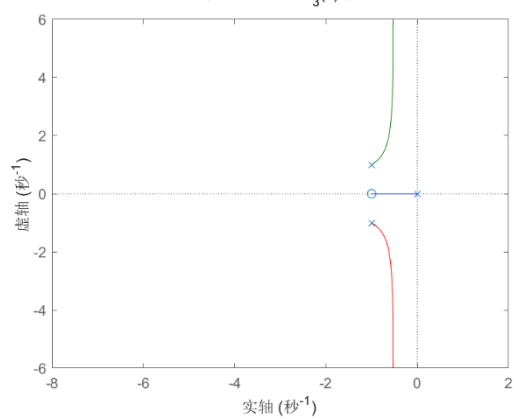
开环零点  $z = -3$  的  $G_3(s)$  根轨迹

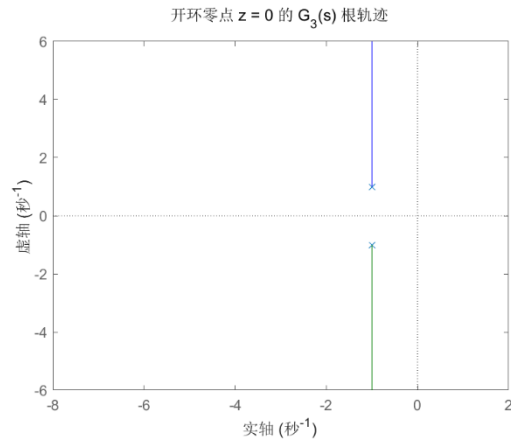


开环零点  $z = -2$  的  $G_3(s)$  根轨迹



开环零点  $z = -1$  的  $G_3(s)$  根轨迹

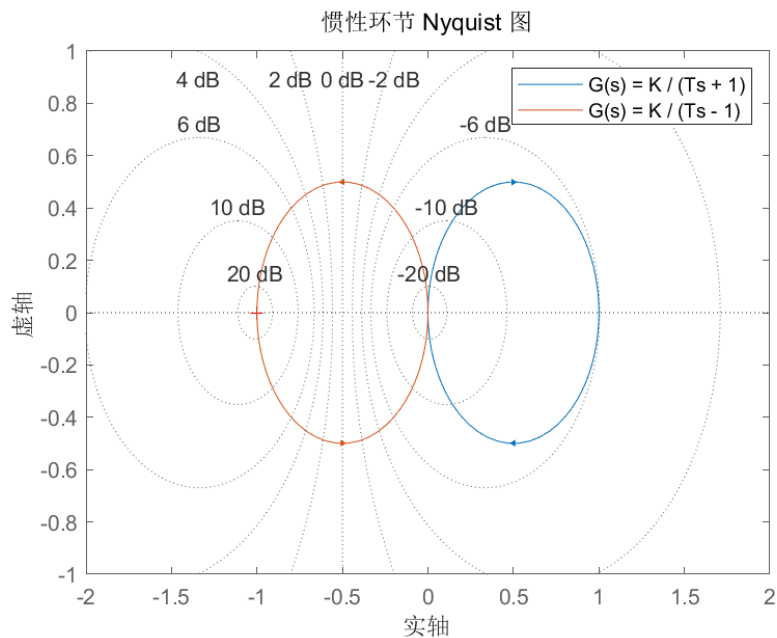




从根轨迹图的变化可以看出，当零点  $z_1$  从-100 逐渐变成 0 时，两条非实轴上的根轨迹渐近线逐渐变陡峭，直到  $z_1 = 0$  时成为两条垂直于实轴的射线。

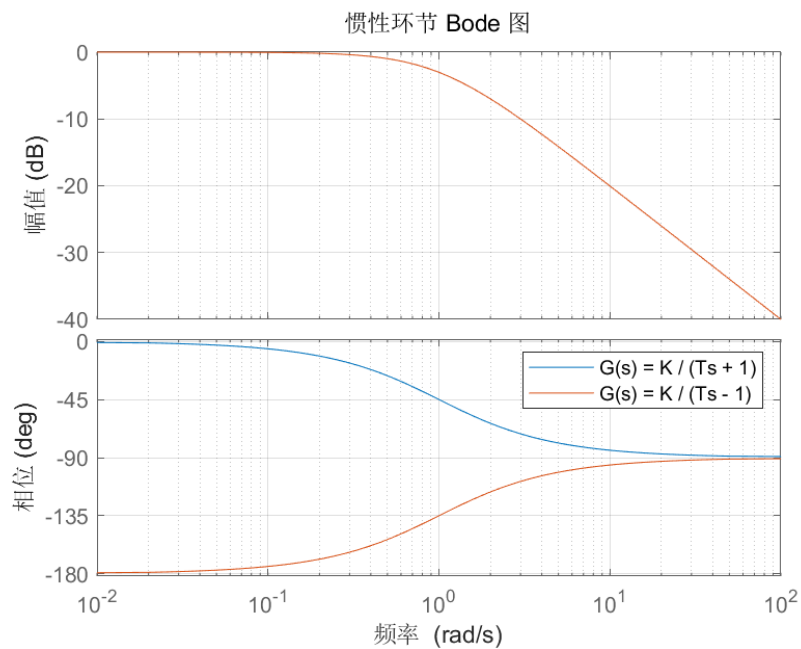
## 二、 线性系统的频率特性分析

1. 固定  $K$  和  $T$ ，在同一幅图里绘制一阶惯性环节  $G(s) = \frac{K}{Ts+1}$  和非最小相位的惯性环节  $G(s) = \frac{K}{Ts-1}$  的 Nyquist 图，说明它们的 Nyquist 图的关系。



关系：Nyquist 图关于虚轴对称。

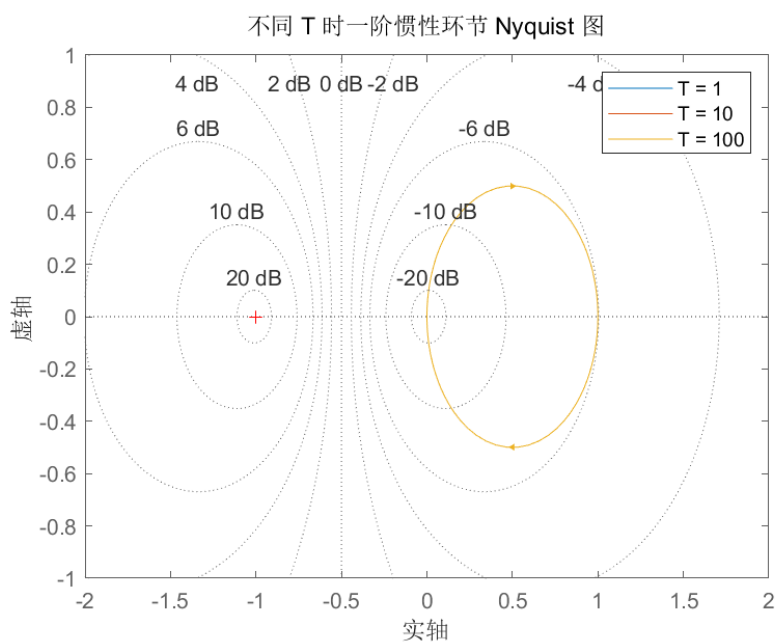
2. 固定  $K$  和  $T$ , 在同一幅图里绘制一阶惯性环节  $G(s) = \frac{K}{Ts+1}$  和非最小相位的惯性环节  $G(s) = \frac{K}{Ts-1}$  的 Bode 图, 说明它们的 Bode 图的关系。



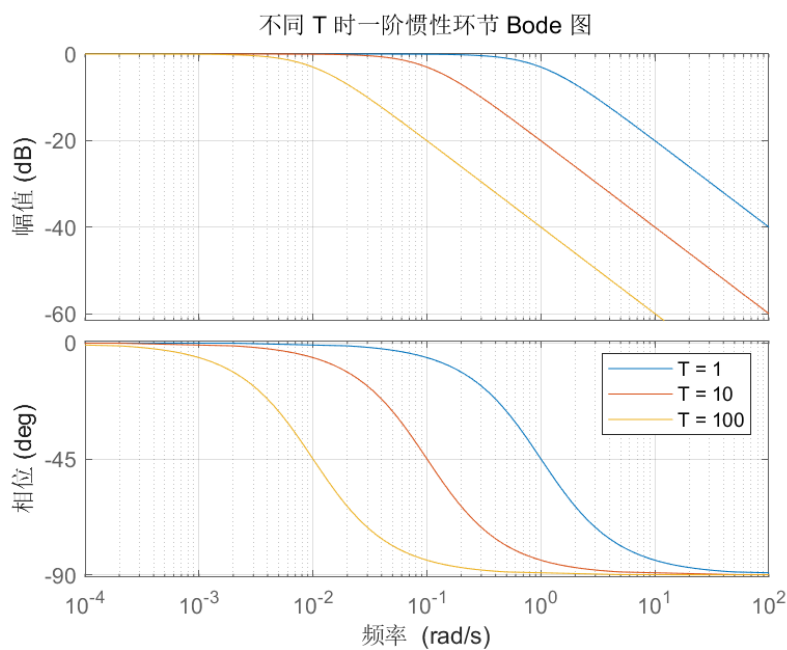
关系: 二者的幅频特性相同, 相频特性关于  $\varphi = -90^\circ$  对称。



3. 固定  $K$ ，分别在同一幅图绘制不同  $T$  时一阶惯性环节  $G(s) = \frac{K}{Ts+1}$  的 Nyquist 图和 Bode 图，分析  $T$  的变化对 Nyquist 曲线和 Bode 图的影响。

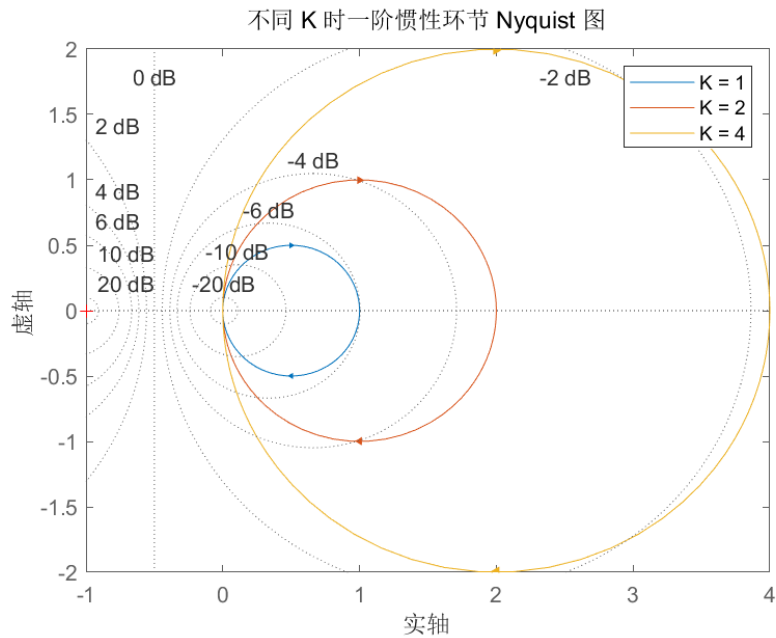


不同  $T$  值下，一阶惯性环节的 Nyquist 图完全重合，说明  $T$  对 Nyquist 曲线并无影响。

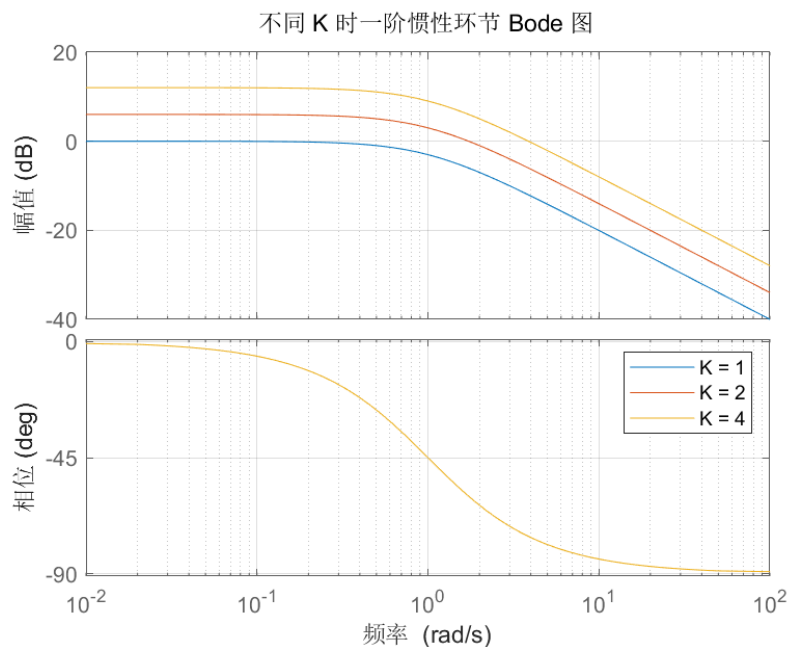


$T$  会影响一阶惯性环节的特征频率， $T$  越大，特征频率越小，幅频和相频特性转折发生得越早。

4. 固定  $T$ ，分别在同一幅图绘制不同  $K$  时一阶惯性环节  $G(s) = \frac{K}{Ts+1}$  的 Nyquist 图和 Bode 图，分析  $K$  的变化对 Nyquist 曲线和 Bode 图的影响。

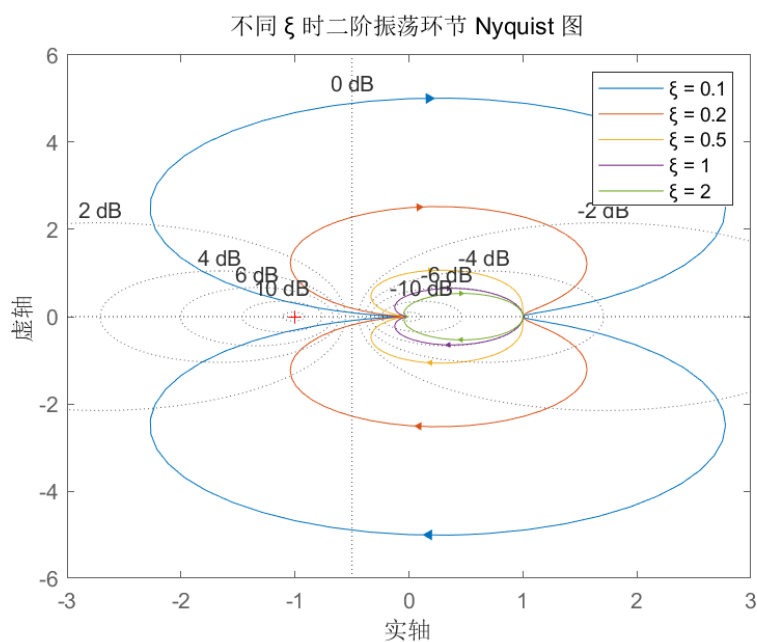


由于  $G(j0) = K$ ，所以  $K$  越大，Nyquist 曲线的起点距离原点越远。但  $K$  并不会影响幅角，因此所有曲线的形状都是圆。

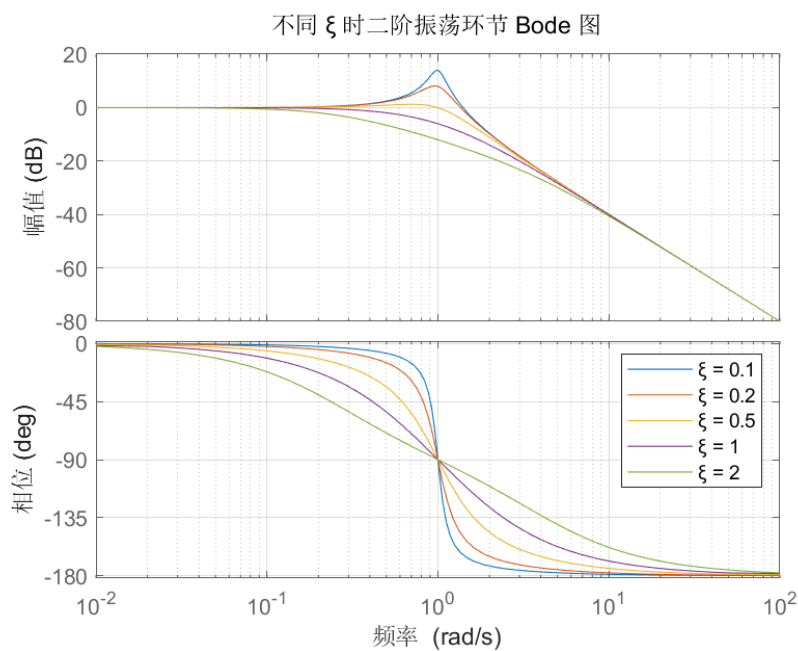


$K$  直接影响系统的增益，所以  $K$  增大，幅频特性曲线整体向上平移。但是相频特性不随  $K$  变化而改变。

5.  $T$  固定，分别在同一幅图绘制不同阻尼比时二阶振荡环节  $G(s) = \frac{1}{Ts^2 + 2T\xi s + 1}$  的 Nyquist 图和 Bode 图，分析阻尼比的变化对 Nyquist 曲线和 Bode 图的影响。

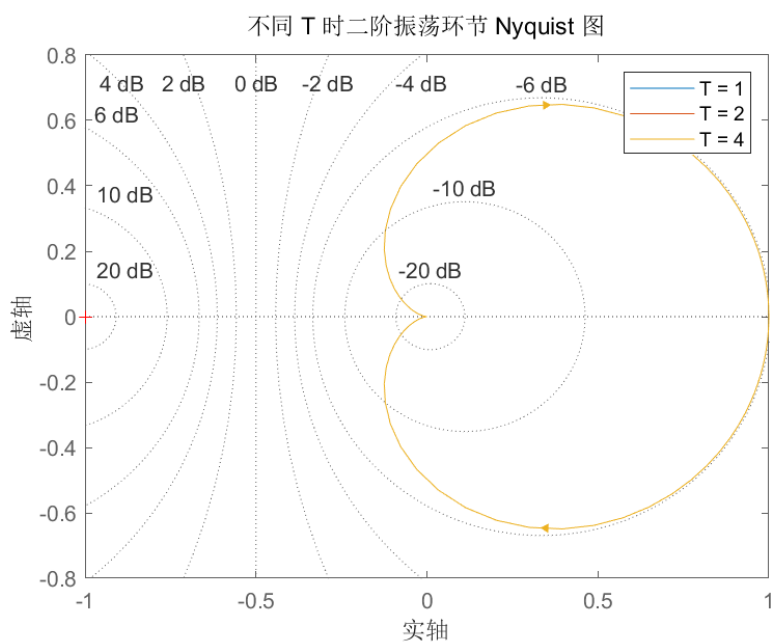


Nyquist 曲线的起点、终点位置不受阻尼比变化的影响，但是阻尼比越小，曲线整体包括的范围越大，转折点  $G(j\omega_n) = \frac{1}{2\xi} \angle -90^\circ$  离原点越远。

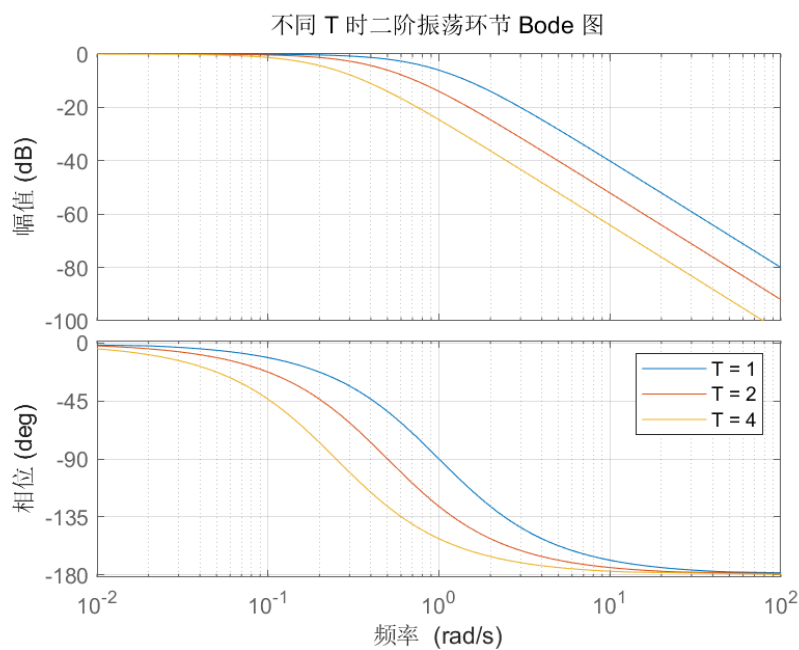


当  $\xi < \frac{1}{\sqrt{2}}$  时，系统幅频特性在特征频率附近会出现极大值，对应 Bode 图上存在一个尖峰；而  $\xi > \frac{1}{\sqrt{2}}$  时，系统幅频特性单调递减。此外， $\xi$  越小，相频特性在特征频率附近越陡峭。

6. 阻尼比固定，分别在同一幅图绘制不同时间常数时  $G(s) = \frac{1}{Ts^2 + 2T\xi s + 1}$  的 Nyquist 图和 Bode 图，分析时间常数  $T$  的变化对 Nyquist 曲线和 Bode 图的影响。

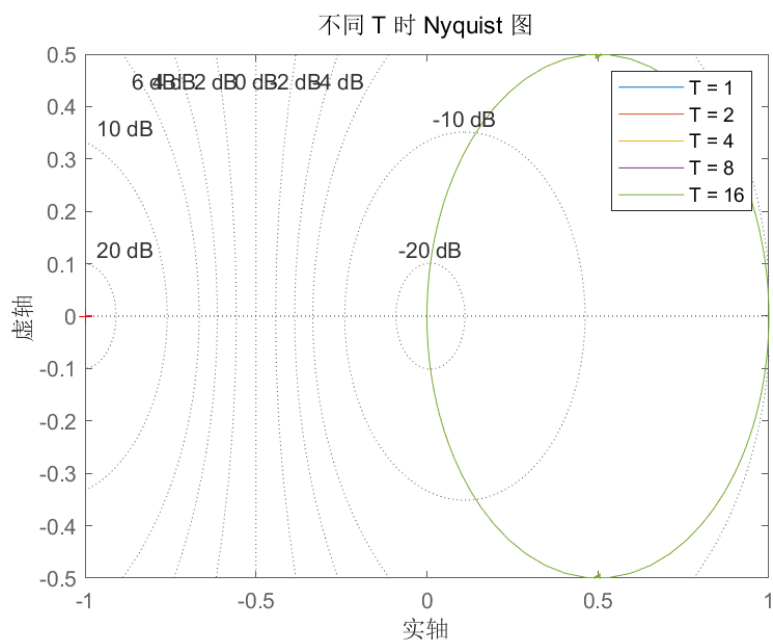


$T$  对二阶振荡环节的 Nyquist 曲线没有影响。

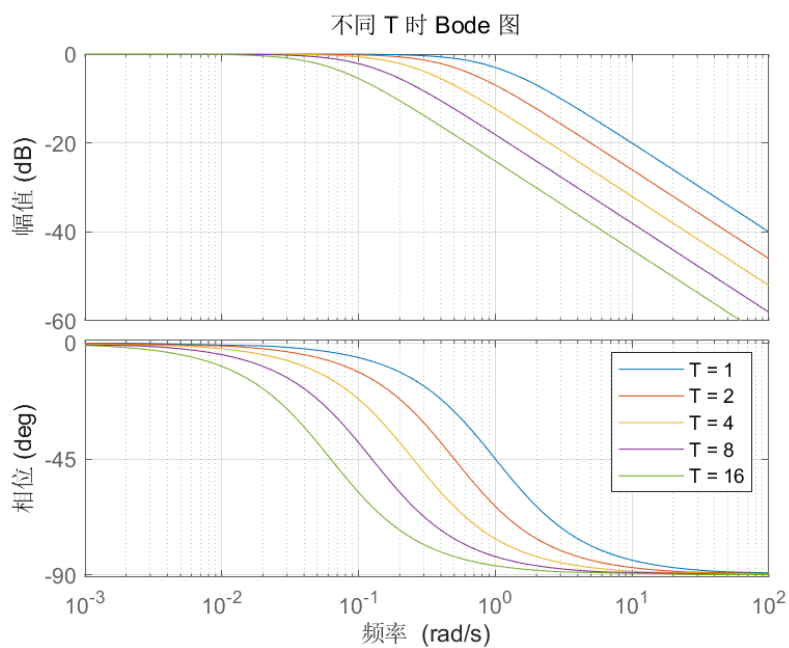


$T$  不影响系统开环增益，所以在低频下不同  $T$  的幅频特性大致相同。但  $T$  越大， $\omega_n$  越小，所以幅频和相频特性曲线越早出现转折。

7.  $K$  固定, 分别在同一幅图绘制不同时间常数  $T$  时  $G(s) = \frac{K}{s(Ts+1)}$  的 Nyquist 图和 Bode 图, 分析时间常数  $T$  的变化对 Nyquist 曲线和 Bode 图的影响。

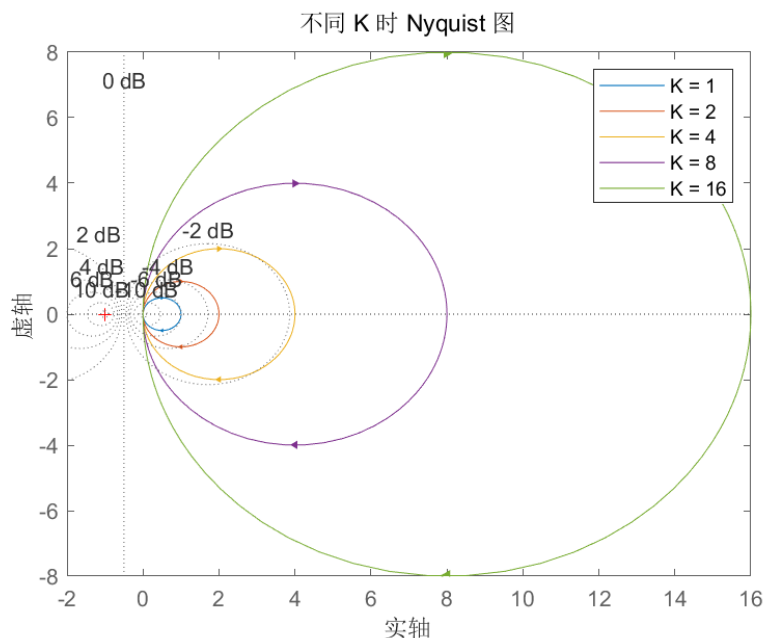


$T$  对系统的 Nyquist 曲线无影响。

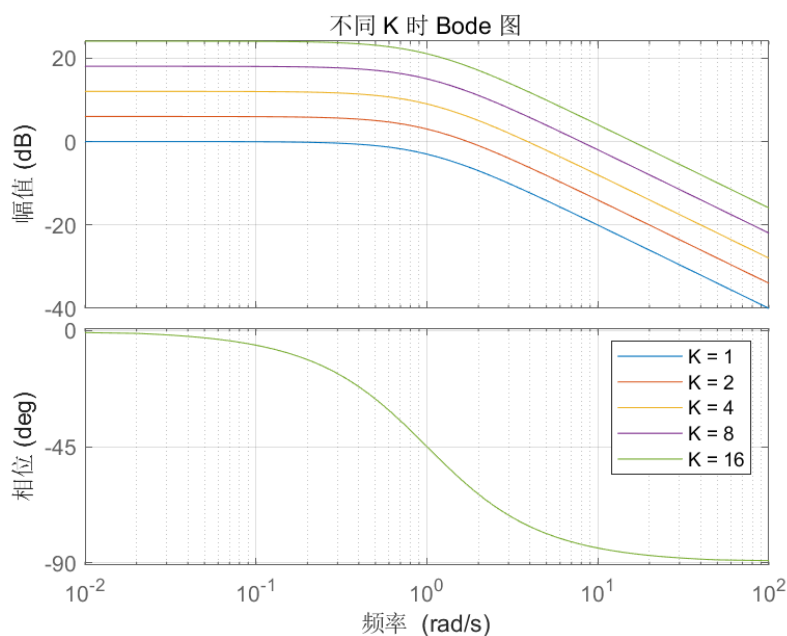


$T$  不改变开环增益大小, 但会改变系统的转折频率。 $T$  越大, 系统转折频率越小, 幅频特性和相频特性下降得越早。

8.  $T$  固定，分别在同一幅图绘制不同开环增益  $K$  时  $G(s) = \frac{K}{s(Ts+1)}$  的 Nyquist 图和 Bode 图，分析开环增益  $K$  的变化对 Nyquist 曲线和 Bode 图的影响。对给定的  $K$  和  $T$ ，判断单位反馈闭环系统的稳定性。



$K$  越大，Nyquist 曲线越向正实轴方向扩张。



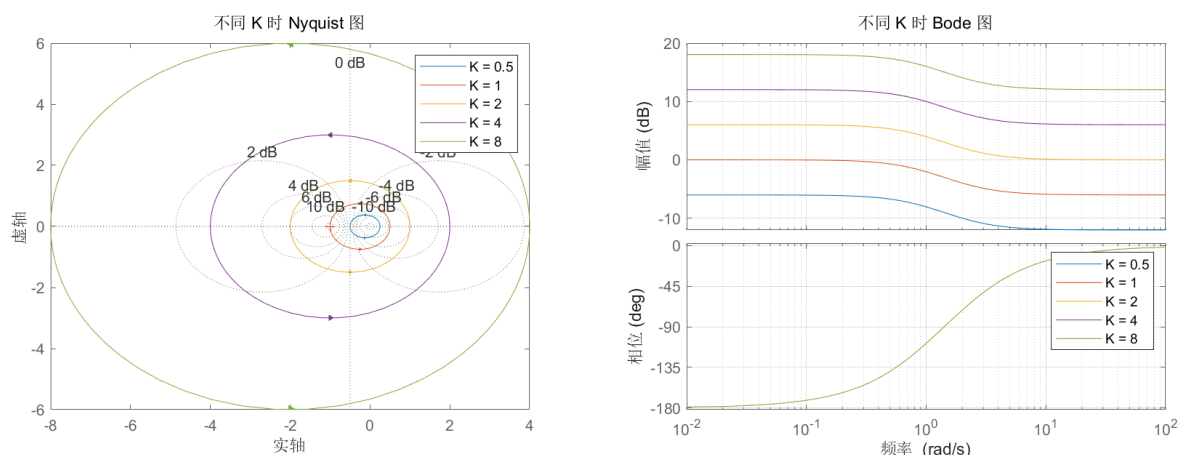
$K$  越大，系统幅频特性曲线整体向上平移，但转折频率不改变；不同  $K$  值下的相频特性完全相同。

由于全频段 Nyquist 曲线总是不包围  $(-1, j0)$  点，开环右半平面极点数为 0，相频特性曲线也总是不穿过  $-180^\circ$  轴，所以无论  $K$ 、 $T$  取何正值，根据 Nyquist 稳定性判据或者对数频率稳定性判据，系统总是稳定的。

9. 固定  $T$  和  $\tau$ ，分别在同一幅图绘制不同  $K$  时  $G(s) = \frac{K(\tau s+1)}{s(Ts-1)}$  的 Nyquist 图和 Bode 图；固定

$T$  和  $K$ ，分别在同一幅图绘制不同  $\tau$  时  $G(s) = \frac{K(\tau s+1)}{s(Ts-1)}$  的 Nyquist 图和 Bode 图。分析  $K$  和  $\tau$  的变化对 Nyquist 曲线和 Bode 图的影响，并分析单位反馈闭环系统的稳定性。特别注意  $K\tau = 1$  这一分界点。

令  $\tau = 0.5$ ,  $T = 1$ ，不同  $K$  值下 Nyquist 曲线和 Bode 图如下：

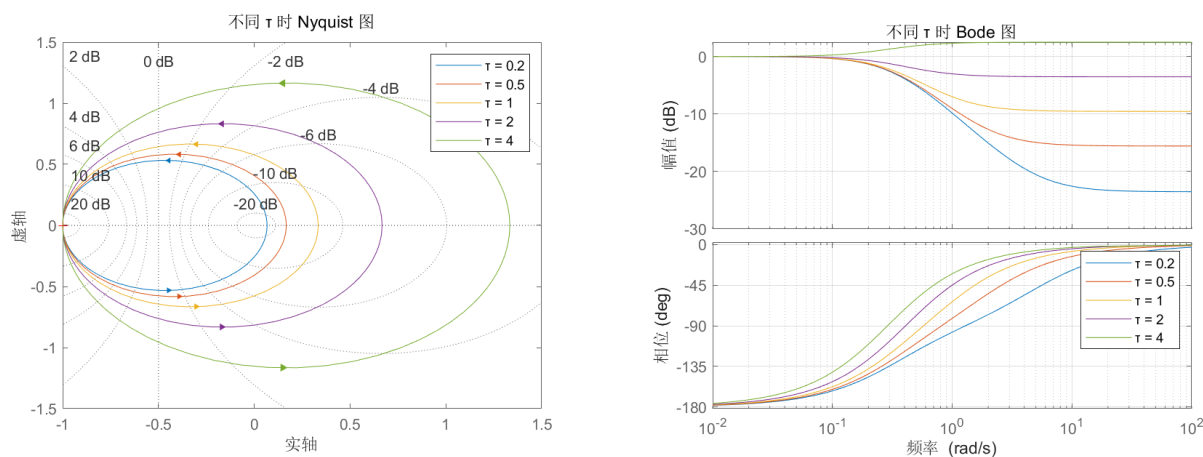


固定  $T$  和  $\tau$ ， $K$  值越大，系统的 Nyquist 曲线整体扩张，Bode 幅频特性曲线整体向上平移，相频特性不发生改变。

当  $K\tau < 1$  时，系统的全频段 Nyquist 曲线不包围  $(-1, j0)$  点，且系统在右半  $s$  平面有一个开环极点  $p = \frac{1}{T}$ ，所以根据 Nyquist 稳定性判据， $Z = P - 2N = 1 - 0 = 1 > 0$ ，系统不稳定；

当  $K\tau > 1$  时，系统的全频段 Nyquist 曲线包围  $(-1, j0)$  点 1 圈，具体而言，开环 Nyquist 曲线起始于  $(-1, j0)$  左侧，由上而下半次穿越负实轴，故  $N = \frac{1}{2}$ ， $Z = P - 2N = 1 - 1 = 0$ ，系统稳定。

令  $K = 1$ ,  $T = 3$ ，不同  $\tau$  值下 Nyquist 曲线和 Bode 图如下：



固定  $K$  和  $T$ ， $\tau$  值越大，系统的 Nyquist 曲线整体扩张，Bode 幅频特性在低频没有明显区别，但系统的高频增益随  $\tau$  值增大而增大； $\tau$  值越大，系统相移出现得越早。